

обеспечивающий достоверные данные об эффективности глушителей и гибких воздухопроводов в реальных условиях.

Схема экспериментальной установки для проведения указанных испытаний представлена на рисунке 2.1.

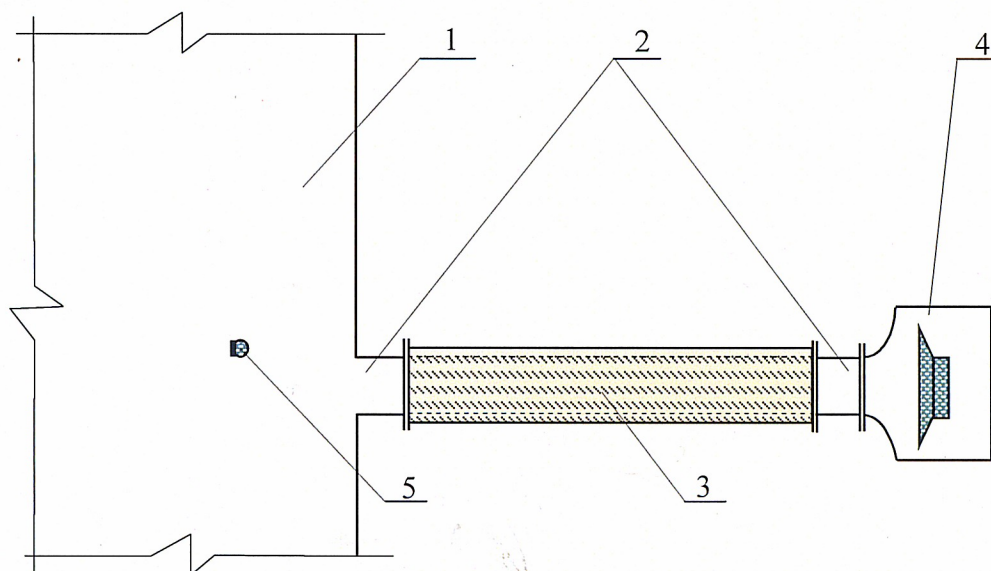


Рисунок 1.1 - Схема экспериментальной установки

- 1 – реверберационная камера ( $V_{\text{кам}} = 130\text{м}^3$ );
- 2 – испытательный канал;
- 3 - испытываемый гибкий воздухопровод;
- 4 – источник звука;
- 5 – измерительный микрофон.

### 1.3 Результаты испытаний

Виды на экспериментальные установки, размещаемые в подглушенном помещении (испытательный канал, присоединённый к источнику звука и измерительной камере) представлены на рисунках 1.2 - 1.6.

На указанных рисунках изображены: испытательный канал (рисунок 1.2), испытываемые гибкие изолированные длиной 1000, 2000 и 3000 мм (рисунки 1.3-1.5) и неизолированный длиной 3000 мм (рисунок 1.6) воздухопроводы диаметром 200 мм.

Уровни звукового давления (УЗД) в реверберационной камере измерялись в 4 точки, а затем усреднялись (при этом УЗД в этих точках в каждой октавной полосе частот не отличались более, чем на 2-3 дБ).

Эффективность каждого «воздуховода гибкого Акустик-эконом» (ВГАЭ) или «воздуховода гибкого неизолированного» ВГН определялась как разность средних измеренных УЗД до установки ВГАЭ в испытательном канале и после его установки.